



# 凸优化在高超声速再入轨迹规划中的应用

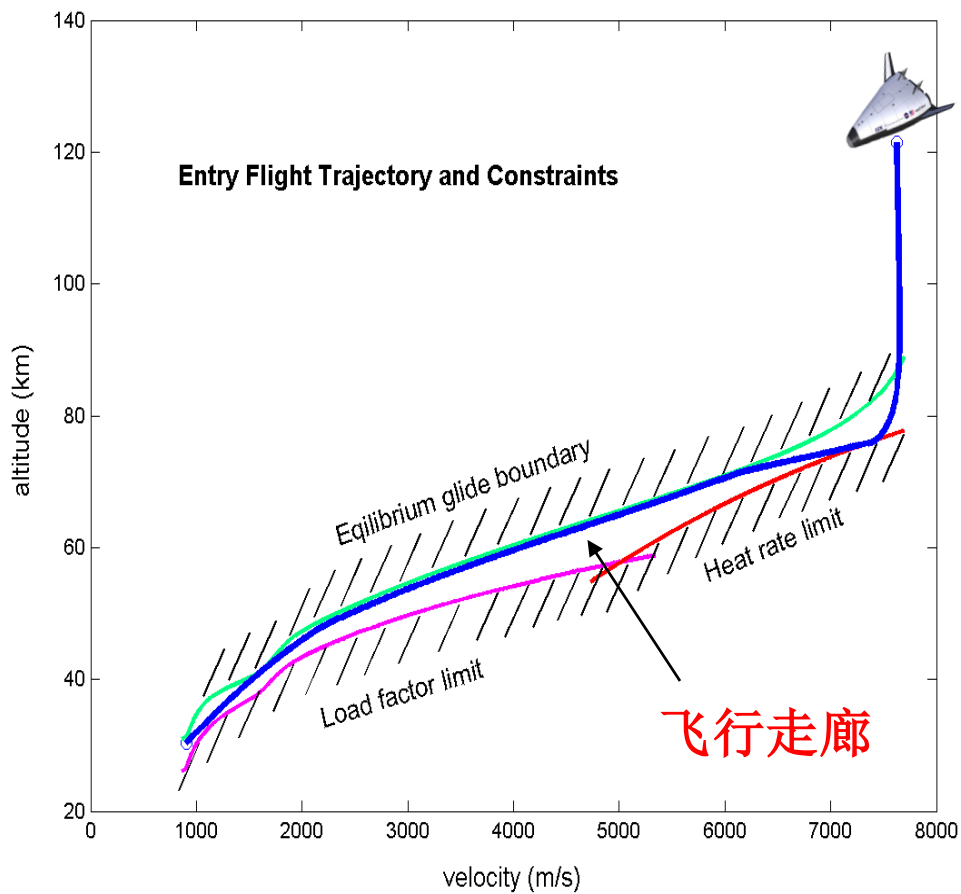
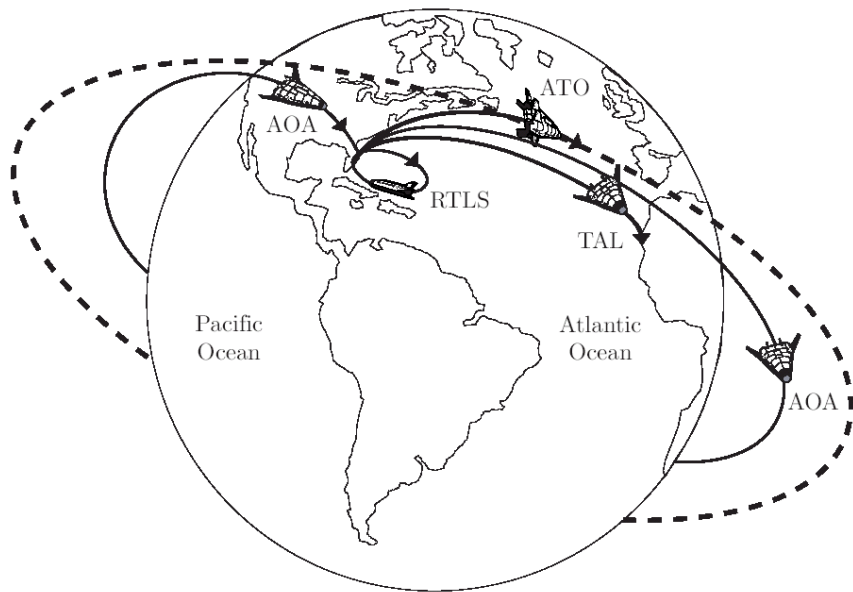
刘新福

- 高超声速再入问题描述
- 凸化处理与离散化
- 等价性分析
- 数值结果

- **高超声速再入问题描述**
- 凸化处理与离散化
- 等价性分析
- 数值结果

# 1. 高超声速再入问题描述

## ➤ 高超声速再入飞行器轨迹优化



滑翔过程存在热流、动压、过载等约束

# 1. 高超声速再入问题描述

动力学方程:  $\dot{x} = f(x, u)$  以负能量  $e = \frac{1}{r} - \frac{V^2}{2}$  作为自变量

$$\dot{r} = (1/D) \sin \gamma$$

$$\dot{\theta} = \cos \gamma \sin \psi / (rD \cos \phi)$$

$$\dot{\phi} = \cos \gamma \cos \psi / (rD)$$

$$\dot{\gamma} = [L \cos \sigma + (V^2 - 1/r) \cos \gamma / r] / (V^2 D)$$

$$\dot{\psi} = [L \sin \sigma / \cos \gamma + V^2 \cos \gamma \sin \psi \tan \phi / r] / (V^2 D)$$

以能量作为自变量

$r$  —— 高度

$\theta$  —— 经度

$\phi$  —— 纬度

$\gamma$  —— 航迹角

$\psi$  —— 航向角

控制输入: 攻角  $\alpha$  (升力  $L$ ) 与倾侧角  $\sigma$

考虑攻角  $\alpha$  为给定剖面, 倾侧角  $\sigma$  满足  $\sigma \in [\sigma_{\min}, \sigma_{\max}]$

动力学方程为状态变量  $x = [r \ \theta \ \phi \ \gamma \ \psi]^T$  与控制输入  $\sigma$  的 **高度非线性函数**

# 1. 高超声速再入问题描述

过程约束:  $k_Q \sqrt{\rho} V^{3.15} \leq \dot{Q}_{max}$  热流约束

$$\frac{g_0 R_0}{2} \rho V^2 \leq q_{max} \quad \text{动压约束}$$

$$\sqrt{L^2 + D^2} \leq n_{max} \quad \text{过载约束}$$

终端约束:  $r(e_f) = r_f^*, V(e_f) = V_f^*, \gamma(e_f) = \gamma_f^*,$

$$\theta(t_f) = \theta_f^*, \phi(e_f) = \phi_f^*, \psi(e_f) = \psi_f^*$$

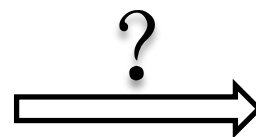
优化目标:  $J = t_f = \int_{t_0}^{t_f} 1 dt = \int_{e_0}^{e_f} \frac{1}{DV} de$

$$\boxed{\frac{de}{dt} = DV}$$

# 1. 高超声速再入问题描述

优化问题:

$$\begin{aligned}
 \min J &= \int_{e_0}^{e_f} \frac{1}{DV} de \\
 \text{s.t. } \dot{x} &= f(x, u) \\
 u = \sigma &\in [\sigma_{\min}, \sigma_{\max}] \\
 k_Q \sqrt{\rho} V^{3.15} &\leq \dot{Q}_{\max} \\
 \frac{g_0 R_0}{2} \rho V^2 &\leq q_{\max} \\
 \sqrt{L^2 + D^2} &\leq n_{\max} \\
 x(e_f) &= x_f^*
 \end{aligned}$$



二阶锥优化

$$\begin{aligned}
 \min \quad & c^T x \\
 \text{s.t.} \quad & Ax = b \\
 & x \in K
 \end{aligned}$$

如何利用序列二阶锥优化进行求解?

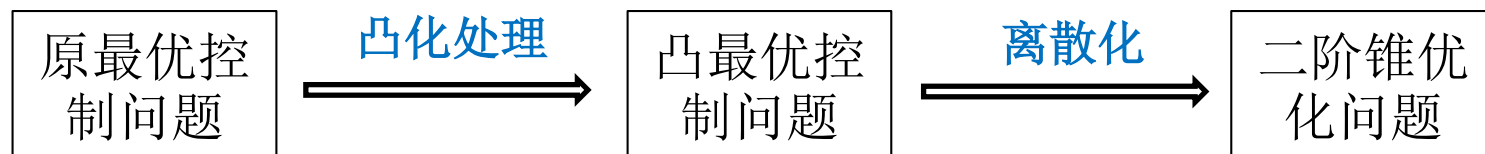
- 高超声速再入问题描述
- **凸化处理与离散化**
- 等价性分析
- 数值结果



## 2. 凸化处理与离散化

如何利用序列二阶锥优化进行求解？

主要步骤：



步骤一：凸化处理

非线性目标函数  $f(x)$   $\longrightarrow$  线性目标函数  $c^T x$

非线性等式约束  $h(x) = 0$   $\longrightarrow$  线性等式约束  $a^T x + b = 0$

非线性不等式约束  $g(x) \leq 0$   $\longrightarrow$  二阶锥约束  $\|A_i x + b_i\| \leq c_i^T x + d_i$

## 2. 凸化处理与离散化

步骤一：凸化处理（目标函数）

$$J = \int_{e_0}^{e_f} \frac{1}{DV} de, \text{ where } D = 0.5 R_0 \rho V^2 S_{\text{ref}} C_D / m$$

非线性被积函数

线性化

$$1/(DV) \approx -a_0 \frac{\rho_r^{(k)}}{(\rho^{(k)})^2} r + a_0 \left( \frac{1}{\rho^{(k)}} + \frac{\rho_r^{(k)}}{(\rho^{(k)})^2} r^{(k)} \right)$$

$$:= c_1(V)r + c_0(V)$$

式中

$$a_0 = 2m / (R_0 S_{\text{ref}} C_D V^3)$$

线性被积函数

近似目标函数

$$J = \int_{e_0}^{e_f} [c_1(V)r + c_0(V)] de$$

## 2. 凸化处理与离散化

步骤一：凸化处理（动力学方程）

$$\dot{r} = (1/D) \sin \gamma$$

$$\dot{\theta} = \cos \gamma \sin \psi / (rD \cos \phi)$$

$$\dot{\phi} = \cos \gamma \cos \psi / (rD)$$

$$\dot{\gamma} = [L \cos \sigma + (V^2 - 1/r) \cos \gamma / r] / (V^2 D)$$

$$\dot{\psi} = [L \sin \sigma / \cos \gamma + V^2 \cos \gamma \sin \psi \tan \phi / r] / (V^2 D)$$

非线性动力学方程

新的控制变量：

$$\begin{aligned} u_1 &:= \cos \sigma \\ u_2 &:= \sin \sigma \\ u_1^2 + u_2^2 &= 1 \end{aligned}$$



$$\begin{aligned} L \cos \sigma &= L u_1 \\ L \sin \sigma &= L u_2 \end{aligned}$$

## 2. 凸化处理与离散化

步骤一：凸化处理（动力学方程）

$$\dot{x} = \underbrace{\begin{bmatrix} (1/D)\sin\gamma \\ \cos\gamma\sin\psi/(rD\cos\phi) \\ \cos\gamma\cos\psi/(rD) \\ (1/D - 1/rV^2D)(\cos\gamma/r) \\ \cos\gamma\sin\psi\tan\phi/(rD) \end{bmatrix}}_{f(x)} + \underbrace{\begin{bmatrix} 0 & 0 \\ 0 & 0 \\ 0 & 0 \\ (L/D)/V^2 & 0 \\ 0 & (L/D)/(V^2\cos\gamma) \end{bmatrix}}_{B(x)} u$$

$$x = [r \ \theta \ \phi \ \gamma \ \psi]^T, \quad u = [u_1 \ u_2]^T$$

$$\boxed{\dot{x} = f(x) + B(x)u}$$

## 2. 凸化处理与离散化

步骤一：凸化处理（动力学方程）

$$\dot{x} = f(x) + B(x)u$$



$$\dot{x} = \underbrace{f(x^{(k)}) + \frac{\partial f(x^{(k)})}{\partial x} (x - x^{(k)})}_{\text{对 } f(x) \text{ 进行线性化}} + \underbrace{B(x^{(k)})u}_{\text{用 } B(x^k) \text{ 近似 } B(x)}$$



$$\dot{x} = A(x^{(k)})x + B(x^{(k)})u + w(x^{(k)})$$

## 2. 凸化处理与离散化

步骤一：凸化处理（动力学方程）

$$\dot{x} = A(x^{(k)})x + B(x^{(k)})u + w(x^{(k)})$$

$$A(x^{(k)}) = \begin{bmatrix} -\frac{D_r^{(k)} \sin \gamma^{(k)}}{(D^{(k)})^2} & 0 & 0 & \frac{\cos \gamma^{(k)}}{D^{(k)}} & 0 \\ a_{21} & 0 & \frac{\cos \gamma^{(k)} \sin \psi^{(k)} \sin \phi^{(k)}}{r^{(k)} D^{(k)} \cos^2 \phi^{(k)}} & -\frac{\sin \gamma^{(k)} \sin \psi^{(k)}}{r^{(k)} D^{(k)} \cos \phi^{(k)}} & \frac{\cos \gamma^{(k)} \cos \psi^{(k)}}{r^{(k)} D^{(k)} \cos \phi^{(k)}} \\ a_{31} & 0 & 0 & -\frac{\sin \gamma^{(k)} \cos \psi^{(k)}}{r^{(k)} D^{(k)}} & -\frac{\cos \gamma^{(k)} \sin \psi^{(k)}}{r^{(k)} D^{(k)}} \\ a_{41} & 0 & 0 & \frac{\sin \gamma^{(k)}}{D^{(k)} r^{(k)}} \left( \frac{1}{r^{(k)} (V^{(k)})^2} - 1 \right) & 0 \\ a_{51} & 0 & \frac{\cos \gamma^{(k)} \sin \psi^{(k)}}{r^{(k)} D^{(k)} \cos^2 \phi^{(k)}} & -\frac{\sin \gamma^{(k)} \sin \psi^{(k)} \tan \phi^{(k)}}{r^{(k)} D^{(k)}} & \frac{\cos \gamma^{(k)} \cos \psi^{(k)} \tan \phi^{(k)}}{r^{(k)} D^{(k)}} \end{bmatrix}$$

可参考文献：Xinfu Liu et. al. “Entry Trajectory Optimization by Second-Order Cone Programming,” Journal of Guidance, Control, and Dynamics, 2016.

## 2. 凸化处理与离散化

步骤一：凸化处理（状态过程约束）

$$\begin{array}{ccc}
 \boxed{\begin{array}{l} k_Q \sqrt{\rho} V^{3.15} \leq \dot{Q}_{max} \\ \frac{g_0 R_0}{2} \rho V^2 \leq q_{max} \\ \sqrt{L^2 + D^2} \leq n_{max} \end{array}} & \begin{array}{c} \nearrow \\ \longrightarrow \\ \nearrow \end{array} & \boxed{\begin{array}{l} r \geq l_Q(V) \\ r \geq l_q(V) \\ r \geq l_n(V) \end{array}}
 \end{array}$$

每个过程约束实为对高度与速度关系的约束

$$\bar{l}(V) := \max \{l_Q(V), l_q(V), l_n(V)\}$$

$$\boxed{r \geq \bar{l}(V)} \quad \text{速度 } V \text{ 在每个能量离散点上可通过 } e = \frac{1}{r(k)} - \frac{V^2}{2} \text{ 得到}$$

## 2. 凸化处理与离散化

步骤一：凸化处理（控制过程约束）

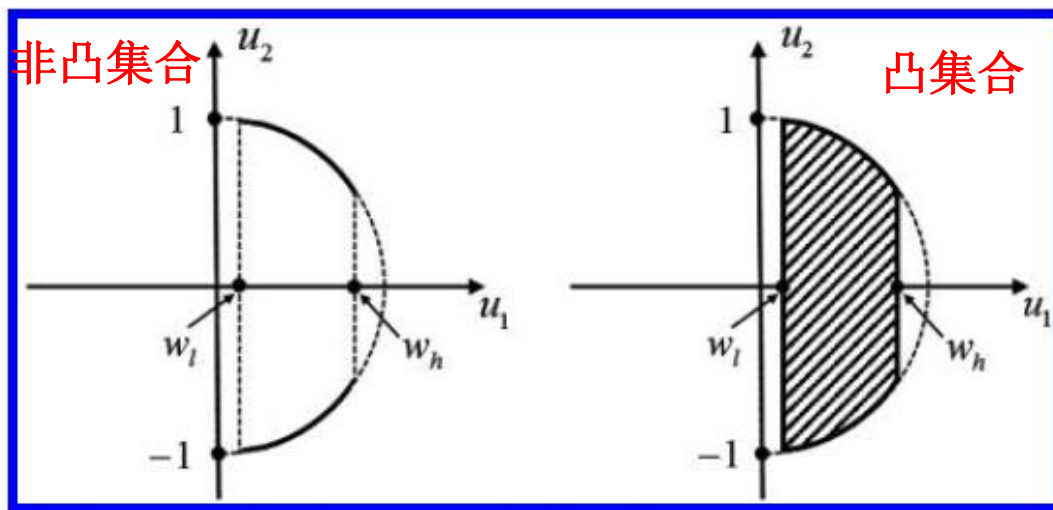
$$\sigma_{\min} \leq \sigma \leq \sigma_{\max} \xrightarrow{u_1 := \cos \sigma} u_{1\min} \leq u_1 \leq u_{1\max}$$

$$\begin{aligned} u_1^2 + u_2^2 &= 1 \\ u_{1\min} &\leq u_1 \leq u_{1\max} \end{aligned}$$

松弛

$$\begin{aligned} u_1^2 + u_2^2 &\leq 1 \\ u_{1\min} &\leq u_1 \leq u_{1\max} \end{aligned}$$

二阶锥约束





## 2. 凸化处理与离散化

### 步骤二：离散化

对以下凸最优控制问题进行离散化：

$$\begin{aligned}
 \min J &= \int_{e_0}^{e_f} [c_1(V)r + c_0(V)]de \\
 \text{s.t. } \dot{x} &= A(x^{(k)})x + B(x^{(k)})u + w(x^{(k)}) \\
 |x - x^{(k)}| &\leq \delta \\
 r &\geq \bar{l}(V) \\
 u_1^2 + u_2^2 &\leq 1 \\
 u_{1\min} &\leq u_1 \leq u_{1\max} \\
 x(e_f) &= x_f^*
 \end{aligned}$$

将自变量  $e$  离散化为  $N$  等份，各离散点可记为  $e_0, e_1, \dots, e_N$

状态变量： $\{x_i\}_{i=0:N}$

控制变量： $\{u_i\}_{i=0:N}$

$$x_i = [r_i \ \theta_i \ \phi_i \ \gamma_i \ \psi_i]^T$$

$$u_i = [u_{1i} \ u_{2i}]^T$$

**优化变量：**  $z = \{x_0, u_0, \dots, x_N, u_N\}$

## 2. 凸化处理与离散化

步骤二：离散化（目标函数）

$$J = \int_{e_0}^{e_f} [c_1(V)r + c_0(V)]de$$



$$J = \sum_{i=0}^{i=N} \Delta e [c_1(V_i)r_i + c_0(V_i)]$$

$$= \Delta e [c_1(V_0) \quad \dots \quad c_1(V_N)] [r_0 \quad \dots \quad r_N]^T + \sum_{i=0}^{i=N} c_0(V_i) \Delta e$$

$$= \mathbf{c}^T \mathbf{z} + d$$

注意：  $\mathbf{z} = [r_0 \ \theta_0 \ \phi_0 \ \gamma_0 \ \psi_0 \ u_{10} \ u_{20} \ \dots \ r_N \ \theta_N \ \phi_N \ \gamma_N \ \psi_N \ u_{1N} \ u_{2N}]$

## 2. 凸化处理与离散化

步骤二：离散化（线性动力学方程）

$$\dot{x} = A(x^{(k)})x + B(x^{(k)})u + w(x^{(k)})$$

梯形法：  $\frac{x_i - x_{i-1}}{\Delta e} = \frac{1}{2} [A(x_i^{(k)})x_i + B(x_i^{(k)})u_i + w(x_i^{(k)}) +$

$$A(x_{i-1}^{(k)})x_{i-1} + B(x_{i-1}^{(k)})u_{i-1} + w(x_{i-1}^{(k)})]$$



$$H_{i-1}x_{i-1} + H_i x_i + G_{i-1}u_{i-1} + G_i u_i = F_i, \quad i = 1, \dots, N$$

$$H_{i-1} = I + (\Delta e / 2)A(x_{i-1}^{(k)}), \quad H_i = -I + (\Delta e / 2)A(x_i^{(k)}), \quad G_{i-1} = (\Delta e / 2)B(x_{i-1}^{(k)}),$$

$$G_i = (\Delta e / 2)B(x_i^{(k)}), \quad F_i = -(\Delta e / 2)[w(x_{i-1}^{(k)}) + w(x_i^{(k)})]$$

## 2. 凸化处理与离散化

步骤二：离散化（状态过程约束）

$$H_{i-1}x_{i-1} + H_i x_i + G_{i-1}u_{i-1} + G_i u_i = F_i, \quad i = 1, \dots, N$$

$$i = 1 \quad H_0 x_0 + H_1 x_1 + G_0 u_0 + G_1 u_1 = F_1$$

$$i = 2 \quad H_1 x_1 + H_2 x_2 + G_1 u_1 + G_2 u_2 = F_2$$

$$\vdots \quad \quad \quad \vdots$$

$$i = N \quad H_{N-1} x_{N-1} + H_N x_N + G_{N-1} u_{N-1} + G_N u_N = F_N$$

$$M z = b$$

## 2. 凸化处理与离散化

步骤二：离散化（状态过程约束）

$$|x - x^{(k)}| \leq \delta \longrightarrow |x_i - x_i^{(k)}| \leq \delta, \quad i = 0, 1, \dots, N$$

—————→

$$\begin{aligned} x_i - x_i^{(k)} &\leq \delta, \quad i = 0, 1, \dots, N \\ x_i - x_i^{(k)} &\geq -\delta, \quad i = 0, 1, \dots, N \end{aligned}$$

$$r \geq \bar{l}(V) \longrightarrow$$

$$r_i \geq \bar{l}(V_i), \quad i = 0, 1, \dots, N$$

## 2. 凸化处理与离散化

步骤二：离散化（控制过程约束与终端约束）

$$u_1^2 + u_2^2 \leq 1 \quad \longrightarrow \quad u_{1i}^2 + u_{2i}^2 \leq 1, \quad i = 0, 1, \dots, N$$

$$u_{1\min} \leq u_1 \leq u_{1\max} \quad \longrightarrow \quad \begin{aligned} u_{1i} &\leq u_{1\max}, \quad i = 0, 1, \dots, N \\ u_{1i} &\geq u_{1\min}, \quad i = 0, 1, \dots, N \end{aligned}$$

$$x(e_f) = x_f^* \quad \longrightarrow \quad x_N = x_f^*$$

## 2. 凸化处理与离散化

离散化后的优化问题

$$\min J = c^T z + d$$

$$\text{s.t. } Mz = b$$

$$x_i - x_i^{(k)} \leq \delta, x_i - x_i^{(k)} \geq -\delta, i = 0, 1, \dots, N$$

$$r_i \geq \bar{l}(V_i), i = 0, 1, \dots, N$$

$$u_{1i}^2 + u_{2i}^2 \leq 1, i = 0, 1, \dots, N$$

$$u_{1i} \leq u_{1\max}, u_{1i} \geq u_{1\min}, i = 0, 1, \dots, N$$

$$x_N = x_f^*$$

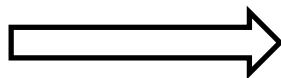
二阶锥优化问题

若该问题有解，原始对偶内点**保证**在多项式时间内找到**全局最优解**

$$z = [r_0 \ \theta_0 \ \phi_0 \ \gamma_0 \ \psi_0 \ u_{10} \ u_{20} \ \dots \ r_N \ \theta_N \ \phi_N \ \gamma_N \ \psi_N \ u_{1N} \ u_{2N}]$$

## 2. 凸化处理与离散化

原优化问题  
(非凸)



二阶锥优化子问题  
二阶锥优化子问题  
⋮  
二阶锥优化子问题

最优控制理论

用于分析迭代求解二阶锥优化子问题的收敛解是否为原问题的解

数值优化

用于设计数值算法高效求解每一个二阶锥优化子问题



- 高超声速再入问题描述
- 凸化处理与离散化
- **等价性分析**
- 数值结果

# 3. 等价性分析

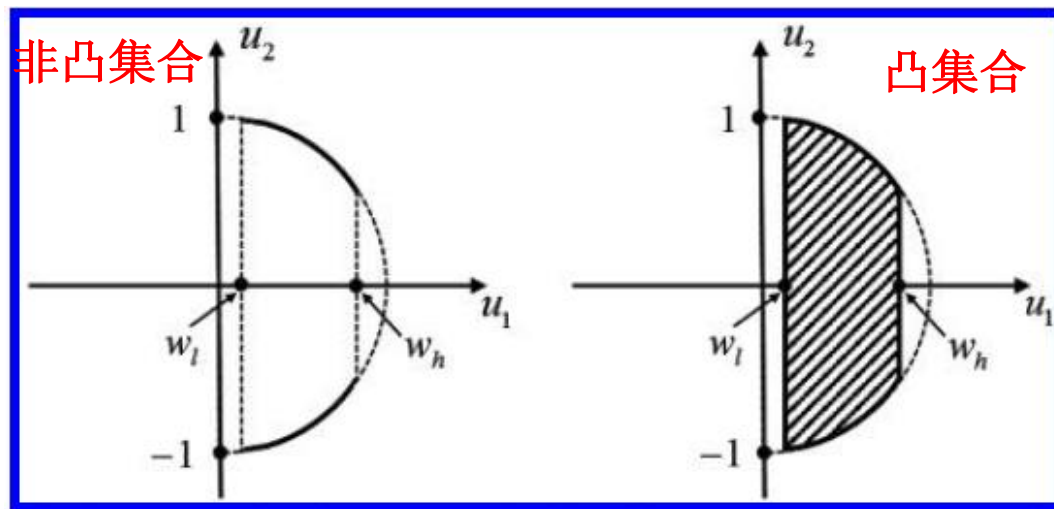
以下转换过程是否有效？

$$\begin{aligned} u_1^2 + u_2^2 &= 1 \\ u_{1\min} &\leq u_1 \leq u_{1\max} \end{aligned}$$

松弛

$$\begin{aligned} u_1^2 + u_2^2 &\leq 1 \\ u_{1\min} &\leq u_1 \leq u_{1\max} \end{aligned}$$

二阶锥约束



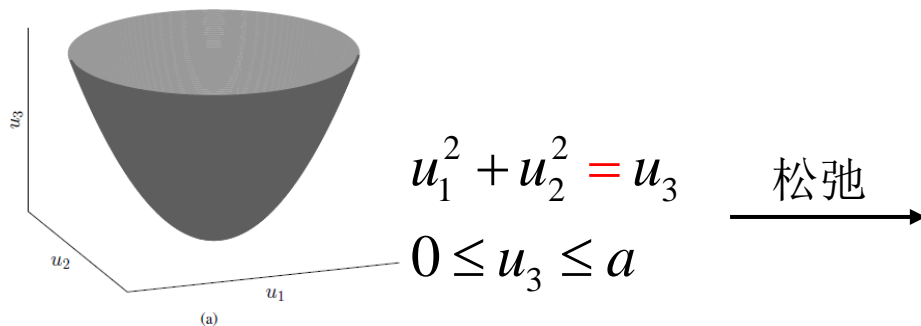
若使用以下目标函数，则能够证明 $(u_1^*)^2 + (u_2^*)^2 = 1$ ，即转换等价

$$J = \int_{e_0}^{e_f} \frac{1}{DV} de + \underbrace{\int_{e_0}^{e_f} \psi de}_{\text{调节项}}$$

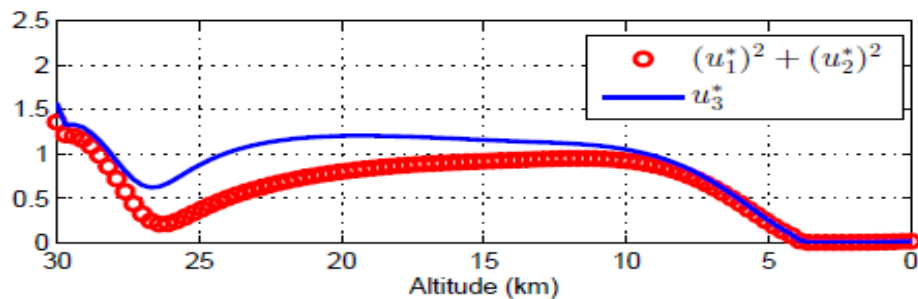
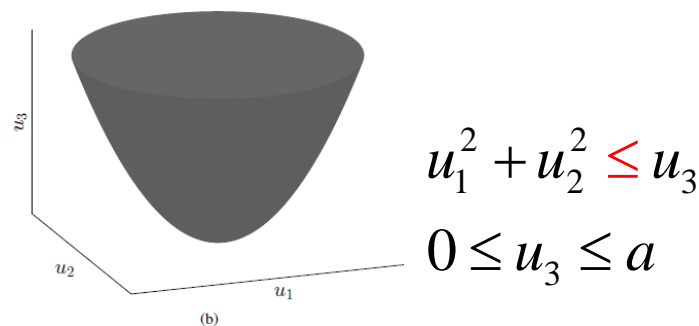
调节项

# 3. 等价性分析

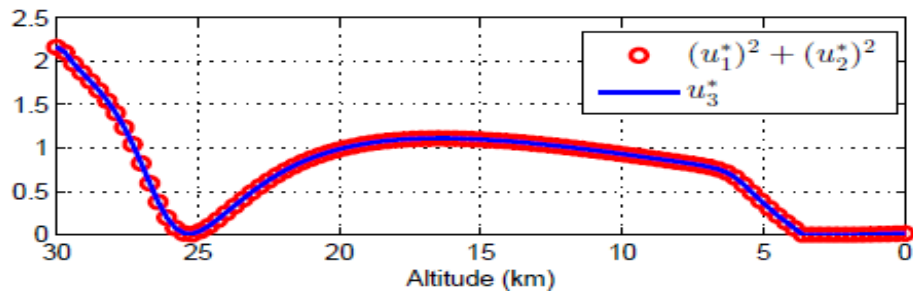
## 调节项的作用举例：



松弛



$$\leftarrow J = -V(t_f)$$



$$\leftarrow J = -V(t_f) + \underbrace{c_\psi \int_{\tau_0}^{\tau_f} \psi d\tau}_{\text{调节项}}$$

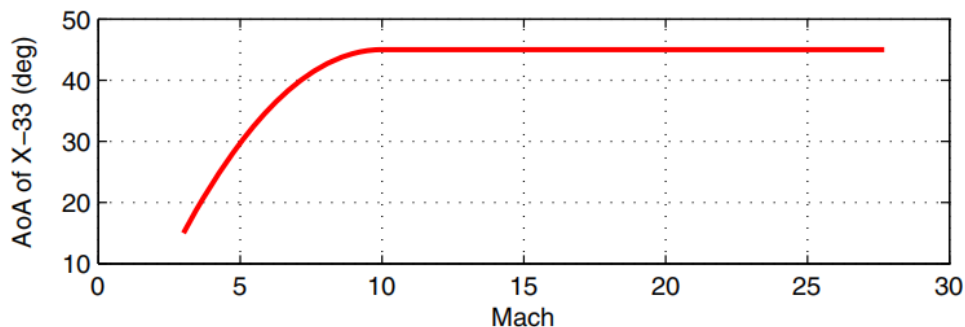
- 高超声速再入问题描述
- 凸化处理与离散化
- 等价性分析
- **数值结果**

# 4. 数值结果



## X-33飞行器参数:

- 重量: 37362.9 kg
- 参考面积: 149.388 m<sup>2</sup>
- 升阻比:  $\approx 0.8$



## 约束:

1. 热流  $\leq 800$  kW/m<sup>2</sup>
2. 动压  $\leq 14,364$  N/m<sup>2</sup>
3. 过载  $\leq 2.5g_0$
4. 滚转角  $\in [15, 165]$  deg

**Table 1 Initial and terminal conditions for X-33**

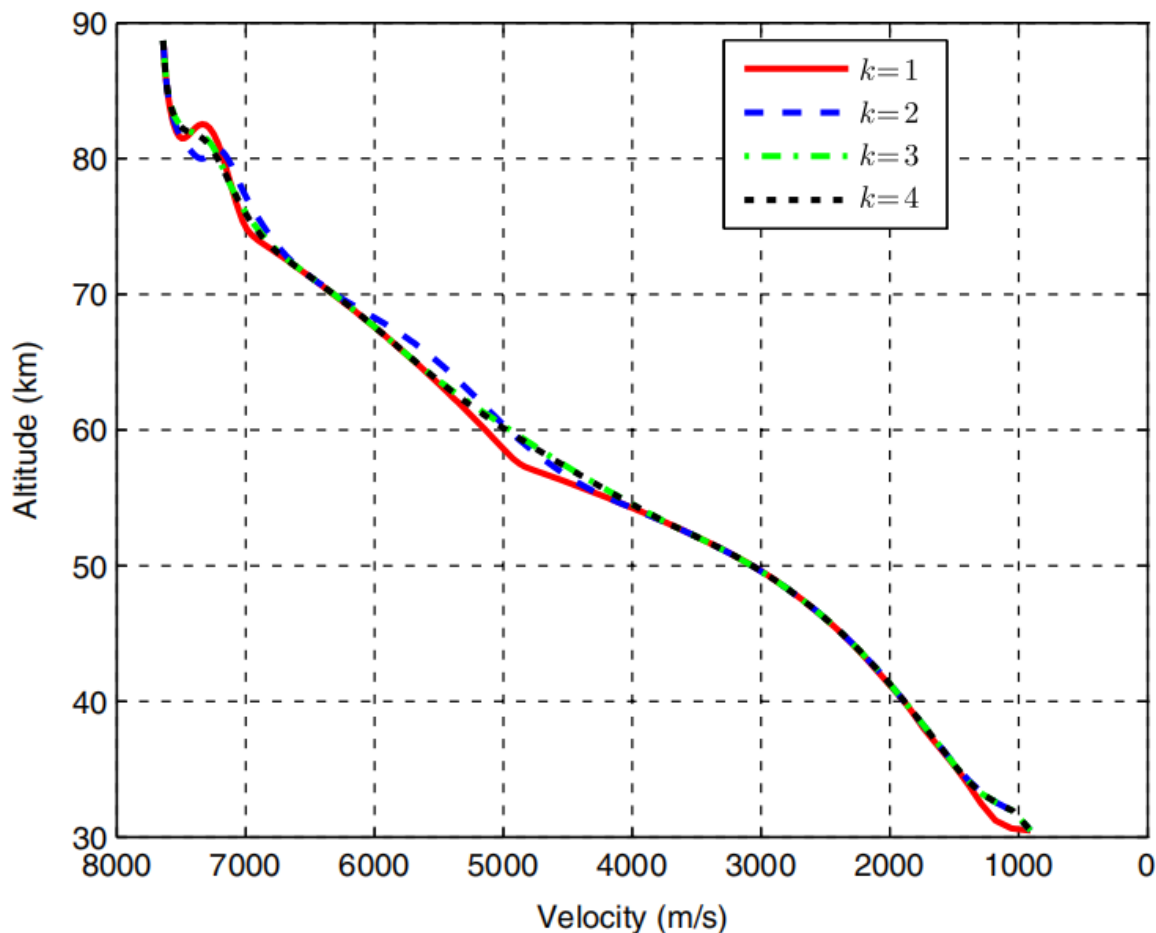
States	$r$ , km	$V$ , m/s	$\gamma$ , deg	$\theta$ , °	$\phi$ , °	$\psi$ , deg
$x_0$	121.9	7626	-1.2493	237	-25	45
$x_f$	30.48	908.15	$[-6, 0]$	279	28.61	90

**优化目标:** 最小化飞行时间

## 4. 数值结果



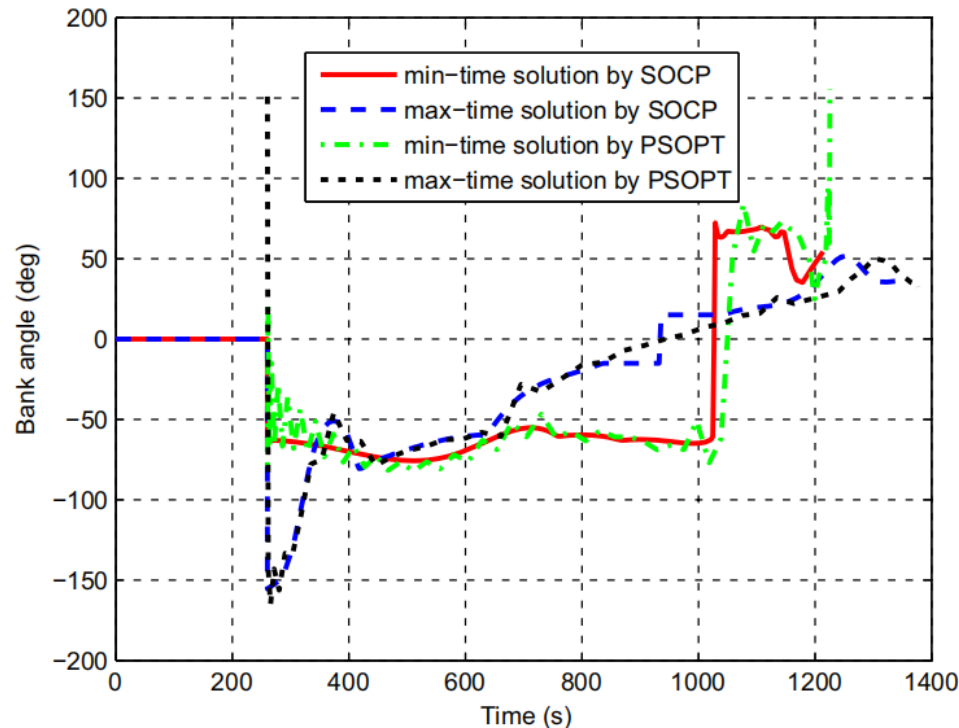
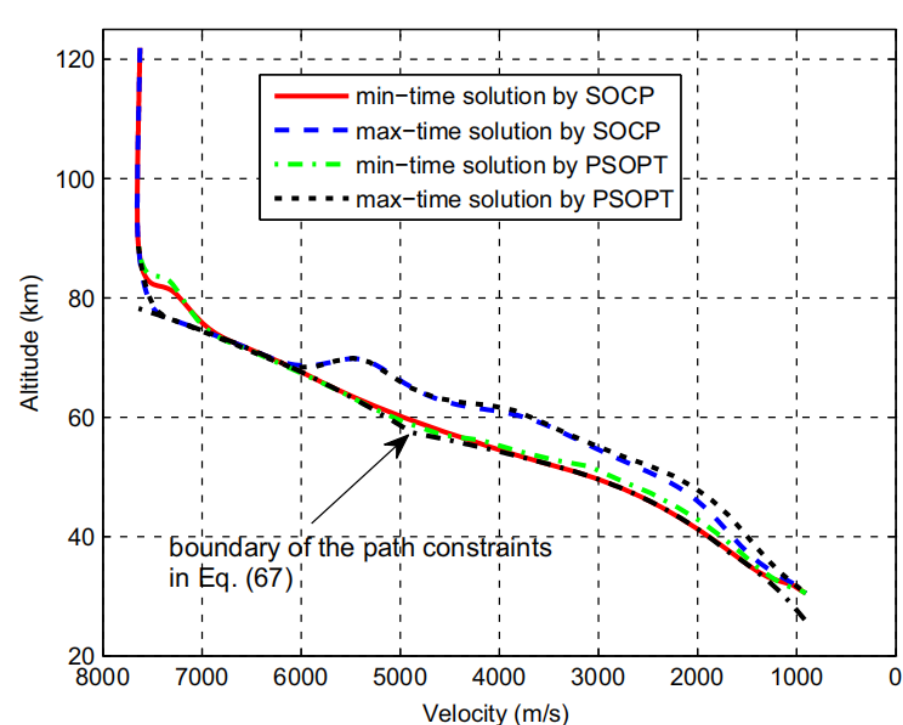
迭代收敛过程：求解4个二阶锥优化子问题后收敛



注意：在该再入轨迹优化问题中，无法理论证明序列凸优化的收敛性

# 4. 数值结果

序列二阶锥优化得到的解 VS 基于伪普法的PSOPT软件得到的解

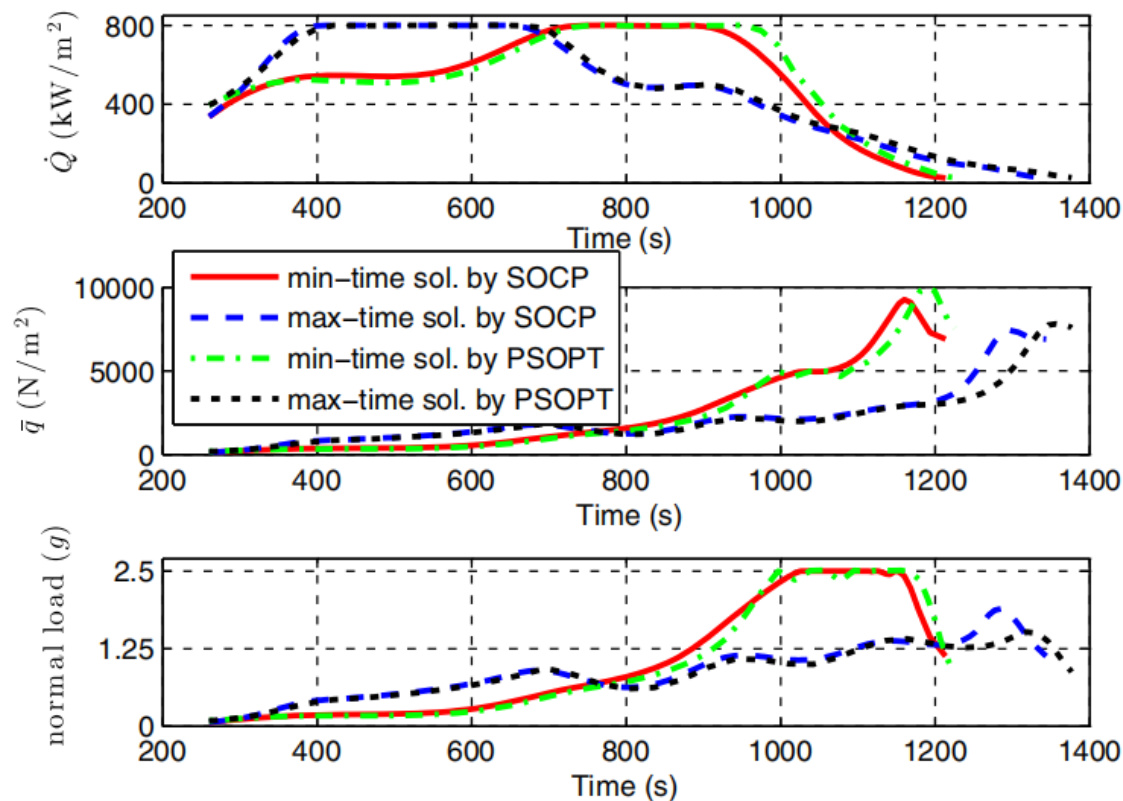


**Table 2 Comparison of the minimum- and maximum-time solutions for X33**

Solution	Time of flight, s	CPU time, s
Minimum-time solution by SOCP	1214	0.84
Minimum-time solution by PSOPT	1225	46.26
Maximum-time solution by SOCP	1344	1.54
Maximum-time solution by PSOPT	1377	13.87

优化结果一致，但  
计算效率差别大

# 4. 数值结果



优化结果显示，所有过程约束均满足

更多结果可参考以下文献：

Xinfu Liu, Zuojun Shen, and Ping Lu, "Entry Trajectory Optimization by Second-Order Cone Programming," *Journal of Guidance, Control, and Dynamics*, Vol. 39, No. 2, pp. 227-241, 2016.